

# INFORME TÉCNICO SENAMHI-ENFEN N°05-2025 MAYO 2025 Y CONDICIONES ACTUALES DE JUNIO

# Componente Atmosférica: Monitoreo de Condiciones El Niño y Pronóstico Subestacional **RESUMEN**

El Índice Oceánico Niño (ONI temporal), centrado en abril de 2025, registró un valor de -0.1 °C, correspondiente a la categoría neutral, manteniéndose con valores negativos desde agosto de 2024. En mayo de 2025, el promedio mensual de la anomalía de la TSM en la región 3.4 fue de -0.16 °C, lo que reflejó una ligera disminución, pero persistiendo en la categoría neutra (fuente: ERSSTv5). Desde inicios de junio se ha observado un cambio de tendencia hacia un leve incremento de las anomalías en la región Niño 3.4, las cuales continúan en el rango neutral. Se espera que esta tendencia persista debido al cambio de patrón a anomalías de vientos del oeste en el Pacífico central hasta fines de julio.

Respecto al Pacífico oriental (región Niño 1+2) El ICEN centrado en abril 2025 alcanzó el valor de +0.46 °C en la condición neutral, reflejando una disminución de la TSM, posterior al incremento súbito que se presentó en el mes de marzo y hasta mediados de abril del 2025. En mayo de 2025 se reportó una anomalía de TSM de -0.04°C (según el ERSSTv5<sup>1</sup>) con una disminución de anomalías de TSM en la región Niño 1+2 (respecto al mes anterior), pero persistiendo en la condición cálida débil; Este descenso significativo fue propiciado por el acercamiento del APS a la costa peruana e intensificación de vientos alisios. Sin embargo, en lo que va de junio se ha presentado un incremento de la TSM que ha propiciado aumentos de temperatura en la costa peruana, a pesar de la intensificación del APS y los vientos alisios, debido al arribo de ondas Kelvin cálidas.

Durante mayo de 2025, la circulación de Walker presentó, en promedio, convección en la vertiente oriental de Sudamérica, lo que sumado al arribo de la fase divergente en altura favoreció los superávits de precipitación registrados en la región nororiental del Perú. Este patrón se mantuvo más favorable (en promedio) en la 2da década junio, en donde se dieron superávits de lluvias con anomalías de hasta +800% en el contexto del período de estiaje.

El Anticiclón del Pacífico Sur (APS) a inicios de mayo 2025 presentó un núcleo intensificado y una posición cercana a su ubicación climática, lo que favoreció descensos de anomalías de TSM en la región Niño 1+2 (respecto a marzo y abril). Posteriormente migró al oeste de su posición climática, lo que favoreció una disminución transitoria de vientos alisios y un ligero incremento de anomalías en la región Niño 1+2 dentro de la condición neutra. Finalmente, en lo que va de junio, se viene presentando una tendencia al incremento de vientos alisios, debido a la posición e intensidad del APS lo que podría propiciar ligeras disminuciones de

<sup>&</sup>lt;sup>1</sup> ERSSTv5 data TSM Mensual: <a href="https://www.cpc.ncep.noaa.gov/data/indices/ersst5.nino.mth.91-20.ascii">https://www.cpc.ncep.noaa.gov/data/indices/ersst5.nino.mth.91-20.ascii</a>

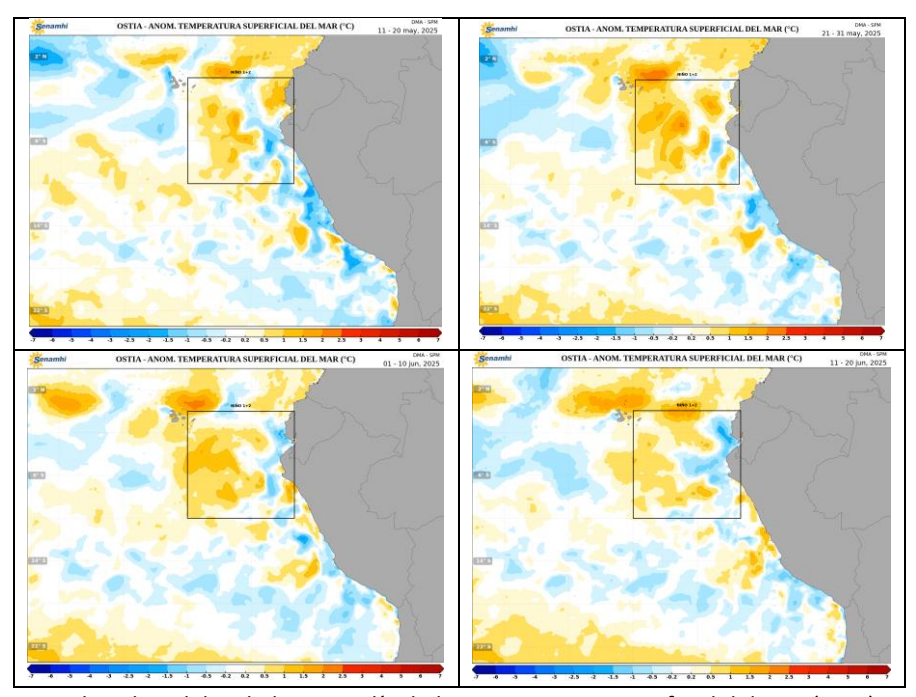


TSM en la región Niño 1+2.

## 1. TEMPERATURA SUPERFICIAL DEL MAR EN EL PACÍFICO ORIENTAL

Durante mayo de 2025 se presentaron anomalías de TSM tanto negativas como positivas (pero dentro de la categoría neutra) en la región Niño 1+2 y la costa norte del Perú, reportando una anomalía promedio de -0.04 °C (fuente ERSSTv5²), las cuales fueron incrementándose paulatinamente hacia inicios y mediados de junio 2025 (ver **Figura 2**). Del 5 al 11 de junio y del 12 al 18 de junio 2025, según OISSTv2.1³, se reportaron anomalías de TSM de +0.5°C y +1.0°C evidenciando ese incremento, asociado al arribo de ondas Kelvin cálidas. A nivel espacial, se puede observar desde la 2da y 3ra década de mayo como las anomalías positivas (cálidas) van abarcando una mayor área en la región Niño 1+2 y la costa central, las cuales llegaron a su mayor extensión e intensidad en la 2da década de junio (ver **Figuras 1a, 1b, 1c y 1d**).

Respecto al Pacífico Central (región Niño 3.4), en lo que va de mayo y junio han predominado anomalías ligeramente negativas pero dentro de la condición neutra. Desde la línea de pronóstico hasta el 3 de julio 2025, se espera que estas condiciones persistan (ver **Figura 3**).

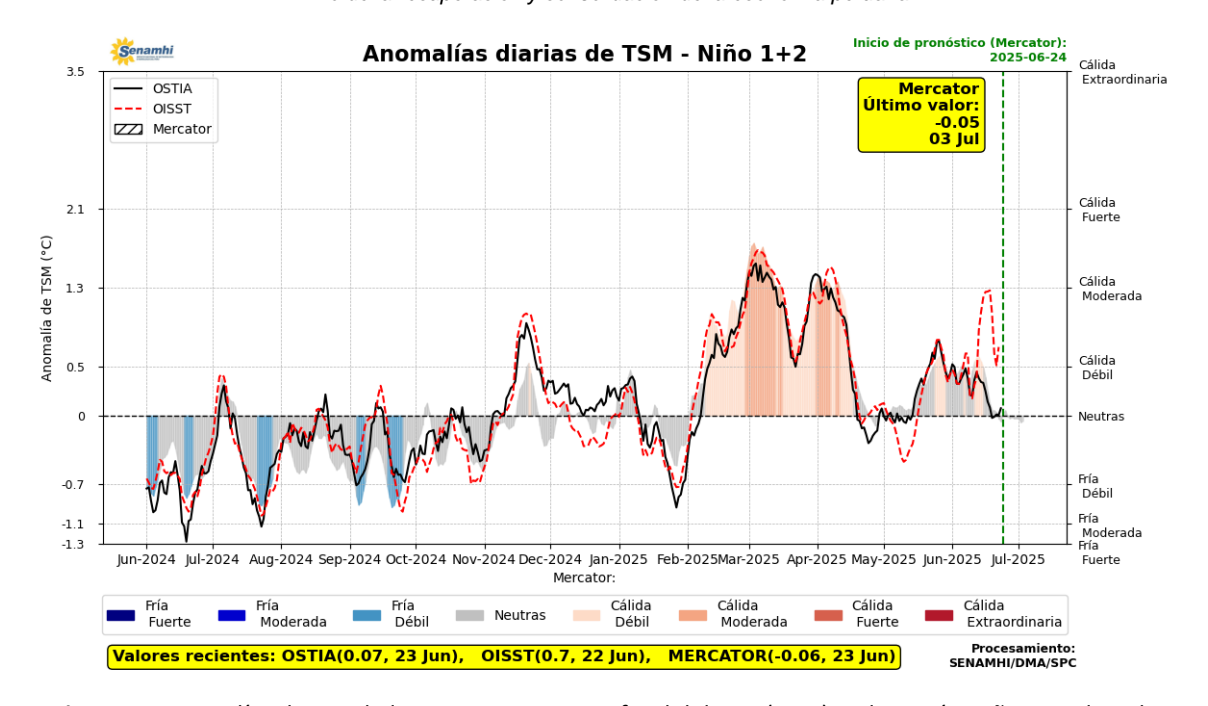


**Figura 1.** Promedios decadales de la anomalía de la temperatura superficial del mar (TSM) en el Pacífico Oriental del 11 de mayo al 20 de junio de 2025 (1a, 1b, 1c y 1d). Climatología 1981-2011. Fuente satelital: OSTIA. Procesamiento: SPM-SENAMHI.

<sup>&</sup>lt;sup>2</sup> ERSSTv5 data TSM Mensual: https://www.cpc.ncep.noaa.gov/data/indices/ersst5.nino.mth.91-20.ascii

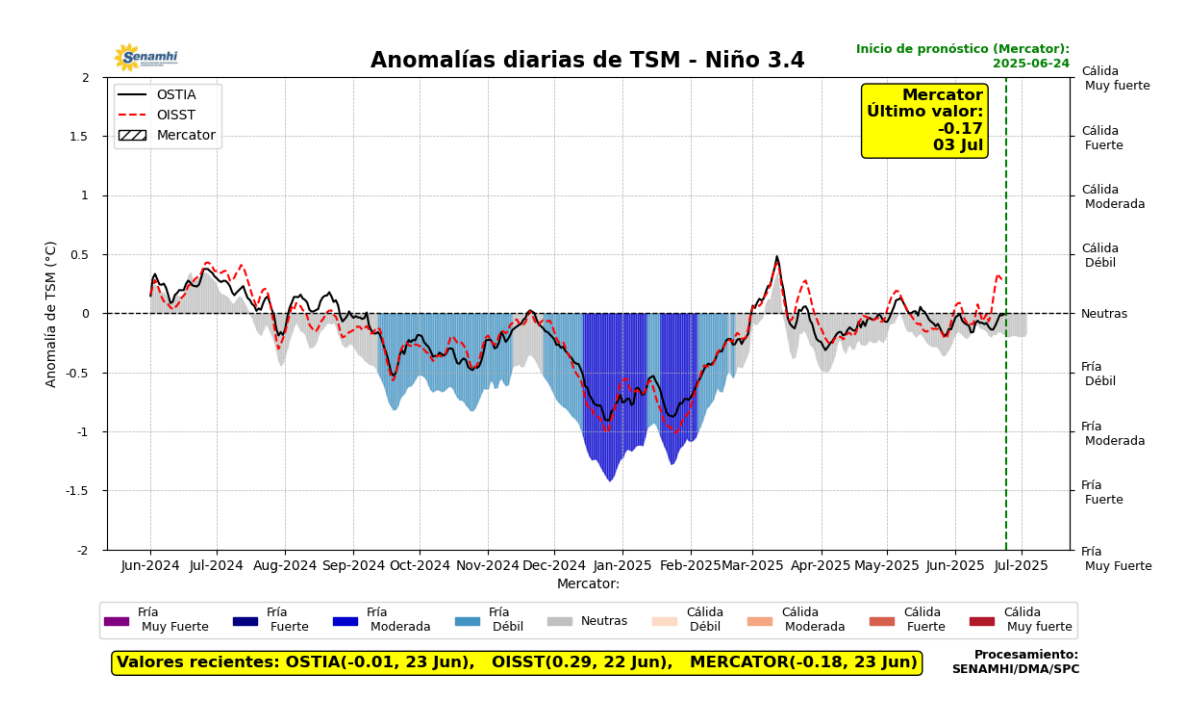
<sup>&</sup>lt;sup>3</sup> OISSTv2.1 data TSM Semanal: <a href="https://www.cpc.ncep.noaa.gov/data/indices/wksst9120.for">https://www.cpc.ncep.noaa.gov/data/indices/wksst9120.for</a>





**Figura 2.** Anomalías diarias de la temperatura superficial del mar (TSM) en la región Niño 1+2 al 23 de junio de 2025. Pronóstico del 24 de junio al 3 de julio 2025. Fuente: OSTIA, OISST, MERCATOR.

Procesamiento: SPC-SENAMHI.



**Figura 3.** Anomalías diarias de la temperatura superficial del mar (TSM) en la región Niño 3.4 al 23 de junio de 2025. Pronóstico del 24 de junio al 3 de julio 2025. Fuente: OSTIA, OISST, MERCATOR.

Procesamiento: SPC-SENAMHI.



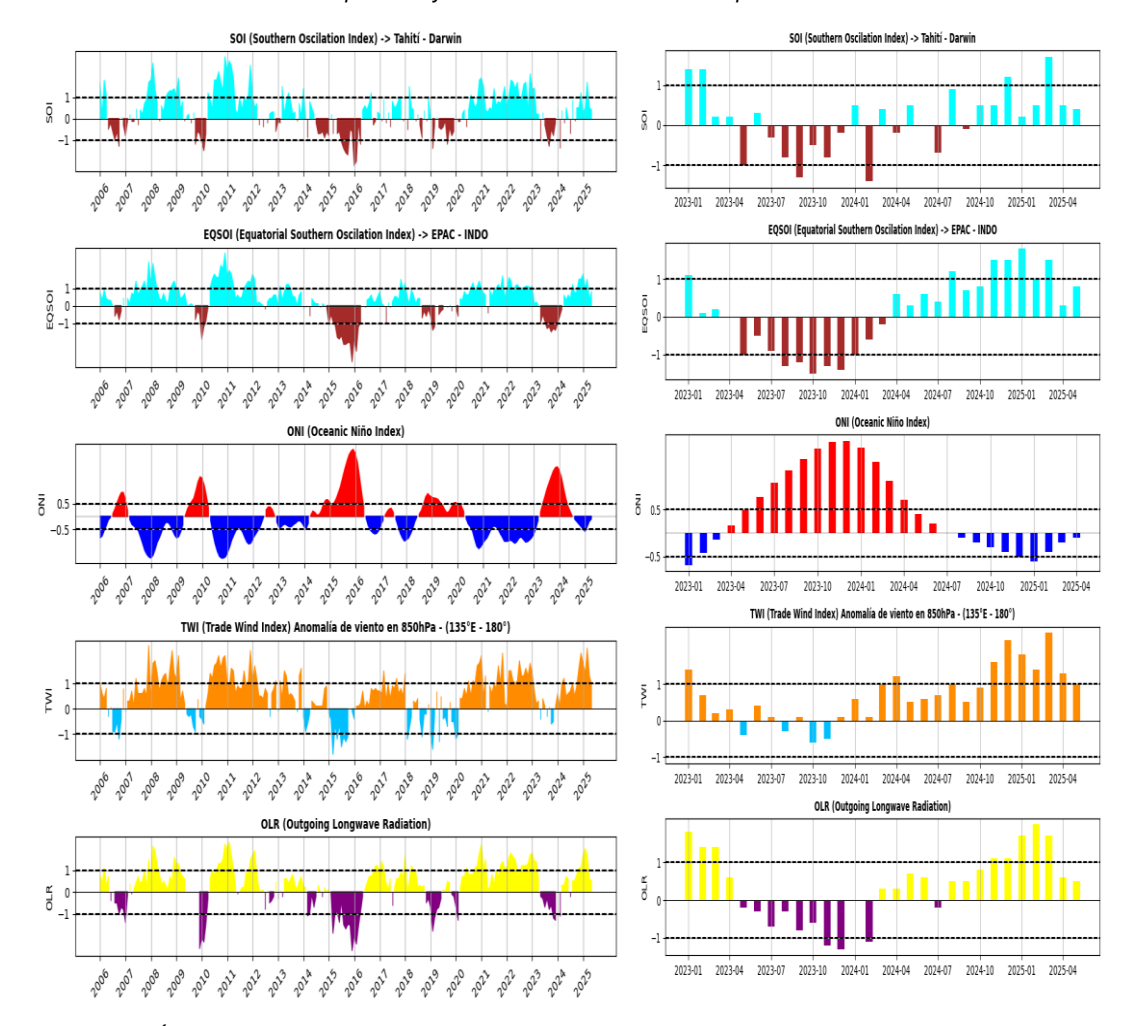
#### 2. ÍNDICES ENSO

Los índices de monitoreo del Pacífico ecuatorial como el SOI y EQSOI, en mayo 2025, registraron valores de +0.4 y +0.8 respectivamente; El EQSOI persistió en la tendencia hacia valores positivos por catorce meses consecutivos, después de haber registrado condiciones negativas por undécimo mes consecutivo (en el evento ENSO), mientras que el SOI muestra ya ocho meses consecutivos con valores positivos (ver Figura 4). La persistencia de valores positivos tanto en el EQSOI como en el SOI ha favorecido una tendencia hacia la consolidación de anomalías de TSM negativas en el Pacífico central (ver Figura 3). Además, el EQSOI ha mostrado un incremento respecto al mes anterior, lo que ha favorecido un ligero descenso en las anomalías de TSM en el Pacífico Central hacia fines de mayo pero dentro de la categoría neutra (ver Figura 3 y 4). Además, se registró por diecisiete meses consecutivos valores positivos del índice TWI, con un valor de +1.0 en este último mes, evidenciando la persistencia de alisios intensificados (pero con una disminución respecto al mes pasado). Por otro lado, el OLR mantuvo valores positivos (+0.5 en mayo), reflejando la persistencia de las condiciones subsidentes que se han estado presentando en el Pacífico Central favorecidos por las condiciones frías del mar (ver Figura 3 y 4).

Respecto a las anomalías de TSM en el Pacífico central, el último valor del ONI centrado en abril alcanzó el valor de -0.1°C4 (valor temporal), registrando por novena vez condiciones negativas en el año. Además, la anomalía mensual de mayo 2025 según el ERSSTv5<sup>2</sup> reportó un valor de -0.16°C y, a nivel semanal, del 5 al 11 y del 12 al 18 de junio el producto OISSTv2.1 indicó anomalías de 0.1°C y 0.3°C con un ligero incremento hacia la segunda semana de junio, pero persistiendo dentro de la categoría neutra (ver Figura 4).

ONI: https://origin.cpc.ncep.noaa.gov/products/analysis\_monitoring/ensostuff/ONI\_v5.php





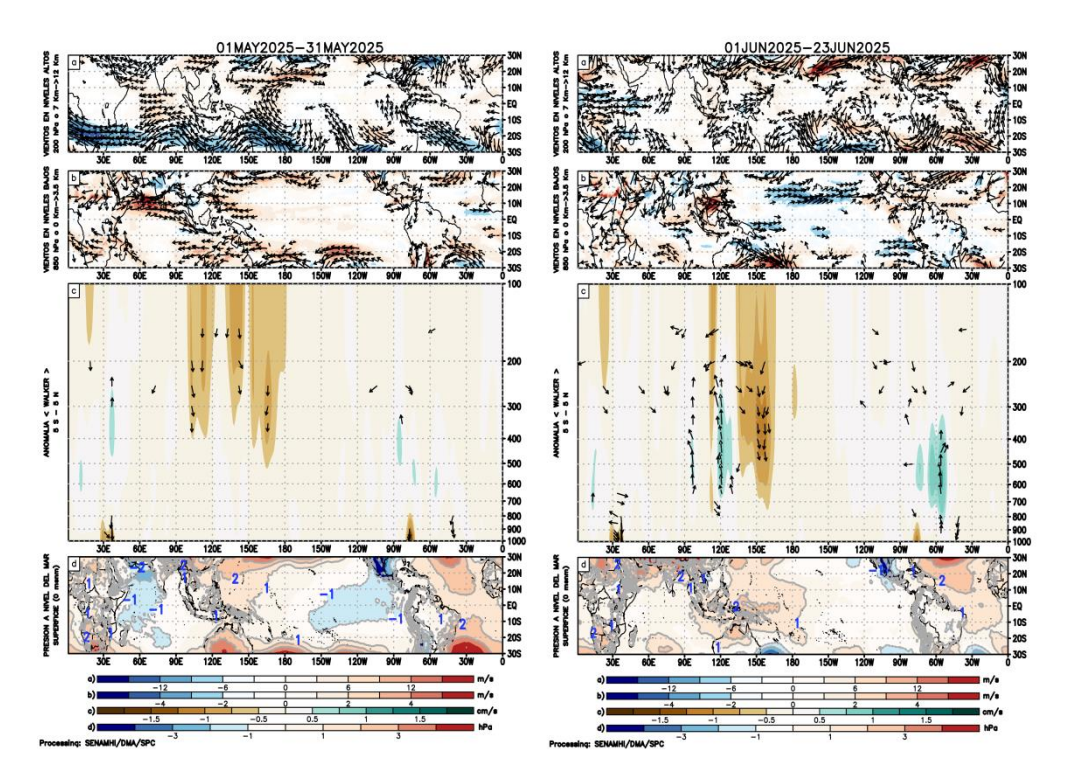
**Figura 4.** Índices mensuales asociados al ENSO (El Niño Southern Oscillation) desde enero de 2006 hasta mayo de 2025 (izq.) y enero del 2023 a mayo del 2025 (der.) con media móvil de 3 meses. Procesamiento: SPC/SENAMHI.

# 3. CIRCULACIÓN ECUATORIAL

En promedio para mayo 2025, se observaron valores de presión atmosférica mayores a sus registros climáticos en el Pacífico Occidental Ecuatorial, que favorecieron las condiciones subsidentes (sumado a las condiciones de mar frío) entre  $140^{\circ}E - 180^{\circ}$ , mientras que en el Pacífico Central y Oriental los valores de presión se presentaron dentro de su climatología, sin embargo, hacia el norte se desarrollaron ligeras presiones negativas. Respecto a la Amazonía y la región nororiental del Perú ( $90^{\circ}W - 70^{\circ}W$ ) se desarrollo una ligera convección, lo que favoreció superávits de lluvias para el mes de mayo, principalmente en la selva norte del Perú (ver **Figura 5c, 5d izquierda y 16a**).

En lo que va de junio 2025 la subsidencia persistió en el Pacífico Occidental, mientras que, en la Amazonía y la región norte del Perú ( $60^{\circ}W - 80^{\circ}W$ ) se desarrolló una convección intensificada (en promedio). Esta intensificación de la convección podría haber propiciado superávits de lluvias en la sierra norte y selva norte, principalmente en la 2da década de junio (11 al 20 de junio, ver **Figura 5c, 5d derecha, 16b y 16c**).





**Figura 5.** Análisis de la circulación atmosférica (Walker) para mayo de 2025 (izq.) y del 1 al 23 de junio 2025 (der.), (a) Anomalías de los vientos (colores) y su dirección (flechas) en niveles altos (200 hPa) y (b) bajos (850 hPa) de la atmósfera; c) Patrón anómalo de la circulación atmosférica ecuatorial (Walker), (d) Anomalías de presión a nivel del mar. Fuente: GFS. Procesamiento: SPC/SENAMHI.

# 4. CIRCULACIÓN EN SUPERFICIE

A inicios de mayo 2025, el Anticiclón del Pacífico Sur (APS) presentó un núcleo intensificado y una posición cercana a su ubicación climática, lo que favoreció descensos de anomalías de TSM en la región Niño 1+2 (respecto a marzo y abril). Posteriormente presentó, en promedio, una configuración zonal, desplazado al oeste de su posición climática, centrado en 35°S y 120°W, con un valor de 1022 hPa en su núcleo (ver **Figura 6**). Su posición al oeste de su ubicación climática favoreció una disminución transitoria de vientos alisios e incrementos de anomalías de TSM en la región Niño 1+2, entre mediados a fines de mayo (ver **Figura 2, 6, 9 y 10**).

Respecto a la variabilidad semanal, del 4 al 10 de junio, el Anticiclón del Pacífico Sur (APS) se posicionó en torno a los 30°S - 140°W, con un núcleo de 1020 hPa, ubicado significativamente al oeste de su climatología (ver Figura 7). Esta configuración favoreció una disminución en la magnitud de los vientos alisios costeros, con anomalías principalmente del oeste e incrementos de anomalías de TSM en la región Niño 1+2 (ver Figura 2 y 10), sin embargo, la componente meridional se mantuvo cercana a sus valores climáticos (ver Figura 9). Posteriormente, del 11 al 17 de junio, el APS se situó más cercano a su posición climática y con una mayor magnitud en su núcleo (1030 hPa), no obstante, aún se encontraba al oeste de su ubicación climática, por ende los vientos



alisios persistieron debilitados hasta el 13 de junio (ver Figura 7 y 10). Finalmente, del 18 al 24 de junio, el APS se ubicó en su posición climática y con un núcleo intensificado de, en promedio, 1030 hPa, lo que propició el incremento de vientos alisios costeros (ver Figura 7 y 10). Este incremento significativo de presión también se vió reflejado frente a la costa peruana, con valores de hasta 1019 hPa y anomalías de presión de +4 a +5 hPa (ver Figura 8). A pesar del incremento de presión tanto en el APS, como frente a la costa peruana e intensificación de los vientos alisios; se tuvieron incrementos de anomalías de TSM en la región Niño 1+2 (ver Figura 2, 7 y 10), los cuales fueron favorecidos por el arribo de ondas Kelvin cálidas hacia la costa.

De acuerdo con el pronóstico, entre el 25 de junio y el 8 de julio el APS persistiría intensificado con valores de presión promedio en el núcleo de 1030 hPa, el cual inicialmente tendrá una configuración zonal (25 junio al 1 de julio), para luego configurarse de manera meridional (ver Figura 7). En ambos casos, debido a la intensificación del núcleo y a la posición cercana a la costa, se espera el incremento en la magnitud de vientos alisios costeros y una posible disminución de las anomalías de TSM en la región Niño 1+2 (ver Figura 2, 7 y 10).

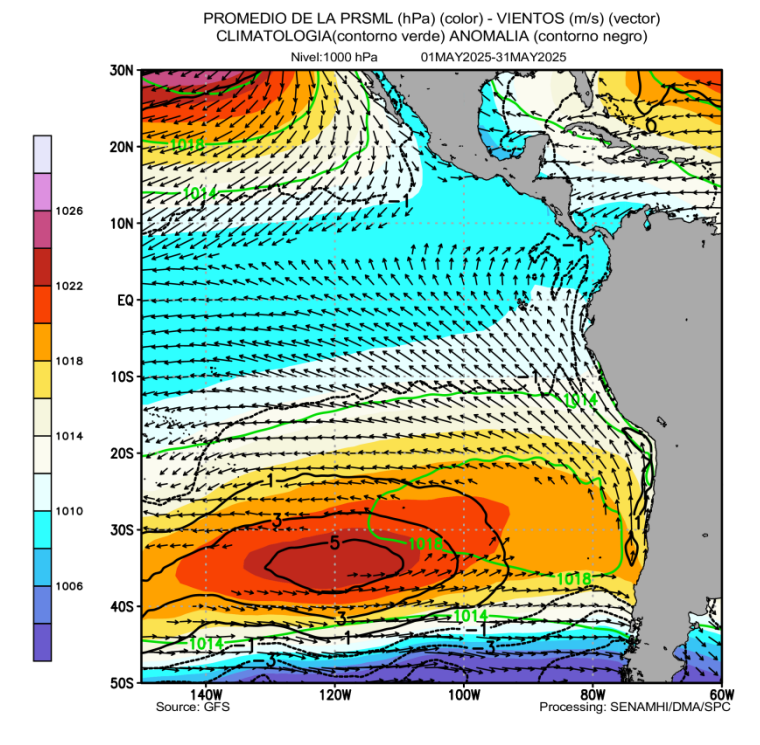
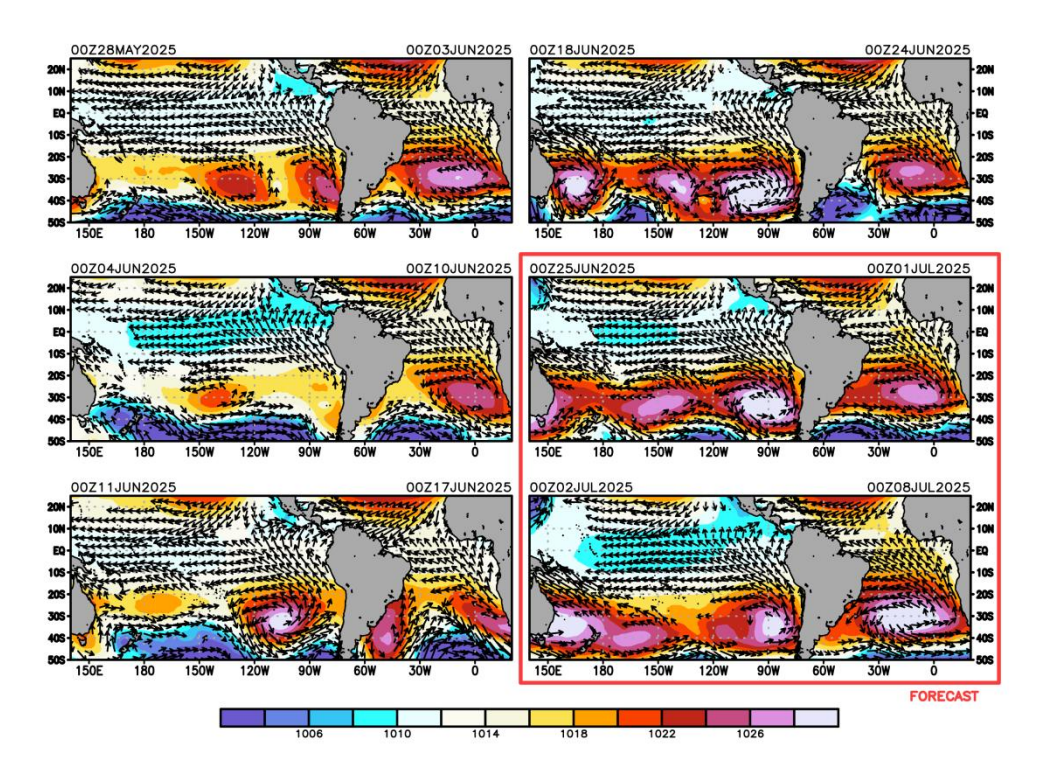
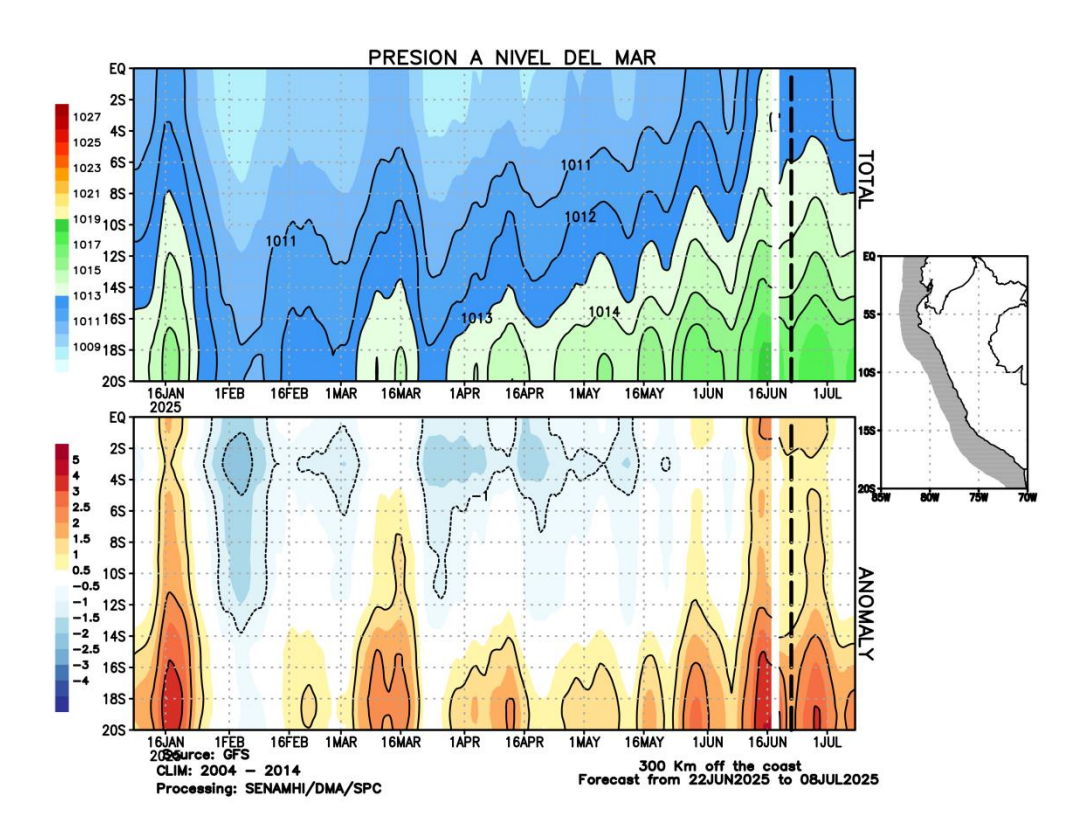


Figura 6. Promedio de la presión atmosférica a nivel del mar (sombreado) durante mayo de 2025, anomalía de la presión atmosférica (líneas negras) y valor climatológico (líneas verdes). Viento en 1000 hPa superiores a los 2 m/s (vectores). Fuente: GFS. Procesamiento: SPC-SENAMHI





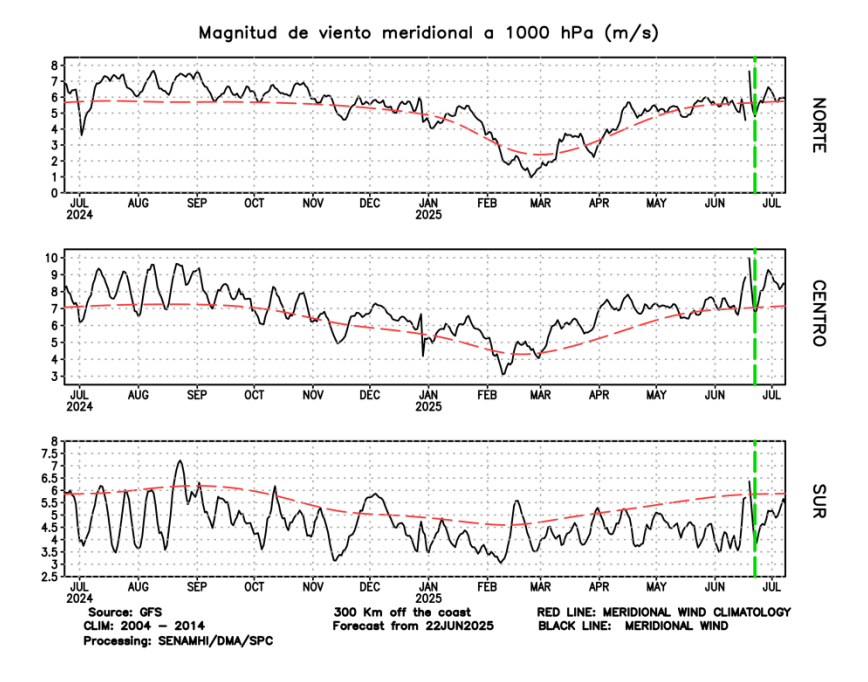
**Figura 7.** Promedio semanal de la presión atmosférica reducida a nivel del mar (colores) y vientos (flechas). Análisis: 28 de mayo 2025 al 24 de junio de 2025. Pronóstico: del 25 de junio 2025 al 08 de julio de 2025. Fuente: GFS. Procesamiento: SPC - SENAMHI.



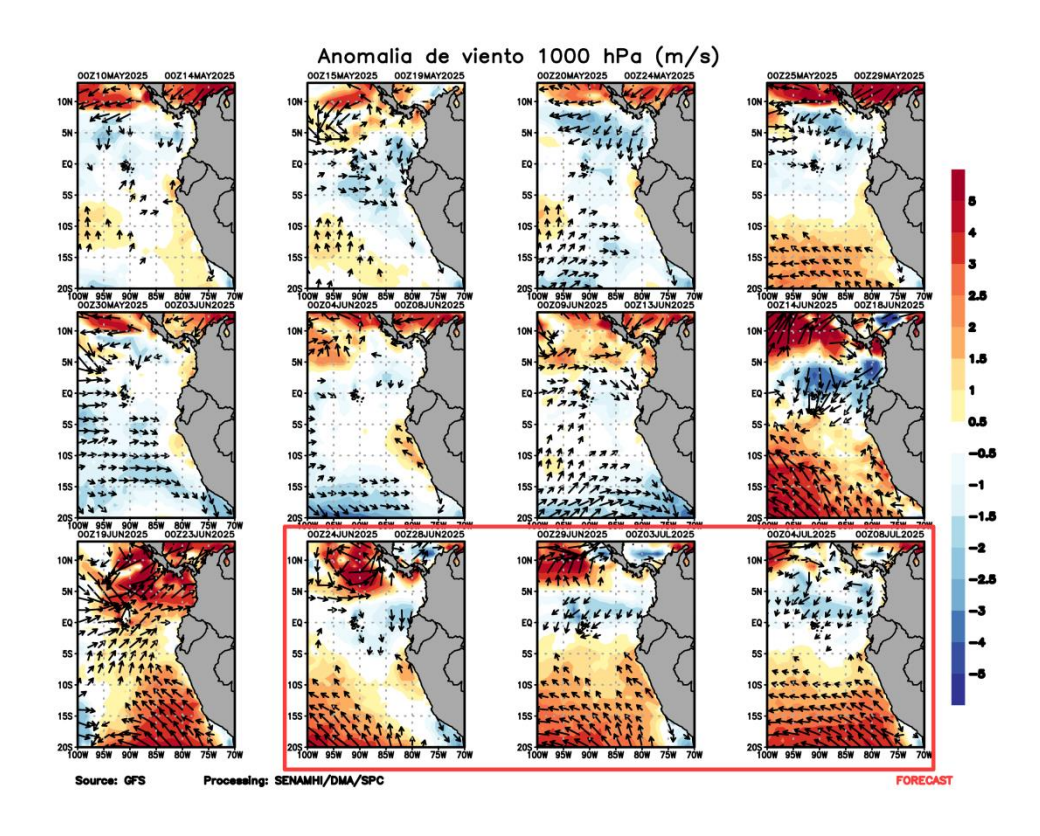
**Figura 8.** Promedio de la presión atmosférica (panel superior) y anomalía de la presión atmosférica (panel inferior) (hPa) en los 300 Km por fuera de la costa. Resolución espacial 1°



(110Km). La línea negra indica el inicio del pronóstico. Fuente: GFS. Procesamiento: SPC-SENAMHI.



**Figura 9.** Magnitud de viento meridional a 1000 hPa y climatología. Análisis: 21 de junio del 2024 al 21 de junio del 2025. Pronóstico: 22 de junio del 2025 al 08 de julio de 2025. Magnitud del viento (línea negra continua) y Climatología (línea roja discontinua). Fuente GFS: Procesamiento: SPC-SENAMHI.





**Figura 10.** Anomalías de viento total (m/s) a 1000 hPa. Análisis: 10 de mayo del 2025 al 23 de junio del 2025. Pronóstico: 24 de junio del 2025 al 08 de julio de 2025. Magnitud de la anomalía (sombreado) y Dirección (vectores). Fuente GFS: Procesamiento: SPC-SENAMHI.

#### 5. VARIABILIDAD INTRAESTACIONAL Y PERSPECTIVAS SUBESTACIONALES

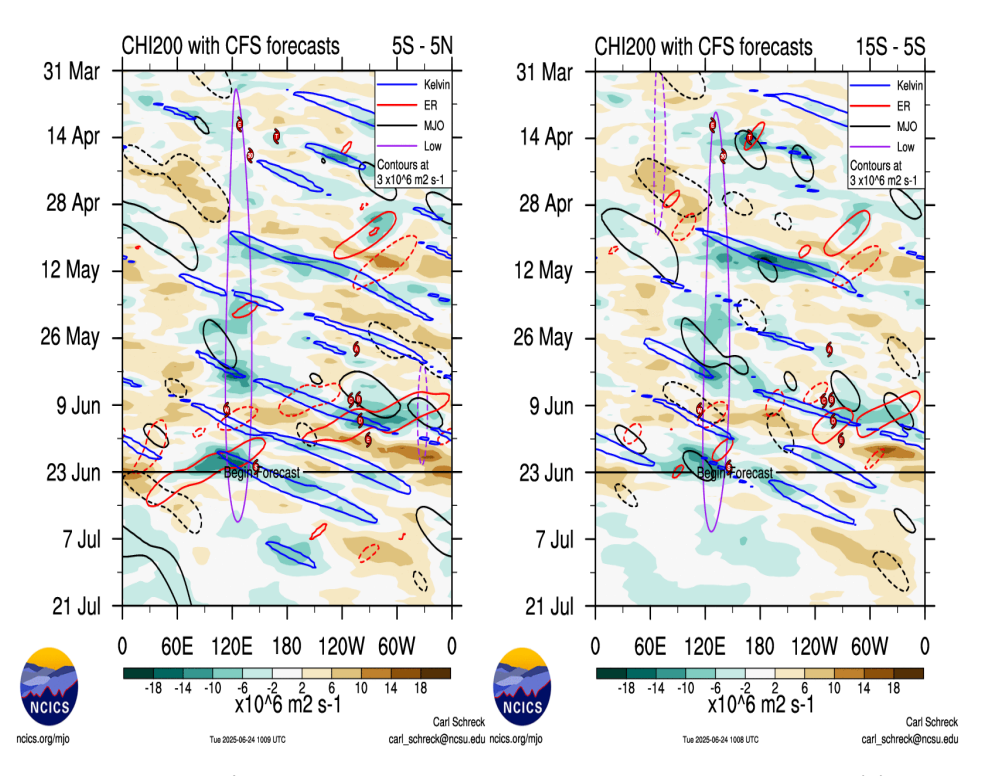
Durante el mes de mayo 2025, en la alta tropósfera (200 hPa) de la región ecuatorial 5°N - 5°S y tropical 5°S - 15°S, se tuvo el arribo de la fase divergente (anomalías de velocidad potencial negativas) desde Oceanía y el Pacífico Central hacia Sudamérica y Perú (90°W – 60°W), la cual se presentó durante el mes en al menos 2 ocasiones (con mayor intensidad en la región tropical), lo que podría haber favorecido una mayor convección y condiciones favorables para lluvias (principalmente entre inicios y mediados de mayo 2025). Por ende, se tuvo una mayor predominancia de anomalías positivas de precipitación a lo largo de la sierra y selva tanto sur como central, la selva norte y parte de la sierra norte (ver Figura 11 y 16a). Además estos superávits de lluvias condicionaron una mayor nubosidad e incrementos de la temperatura mínima (anomalías cálidas) en la sierra sur oriental (ver Figura 16a y 17a). A inicios de junio (hasta el 8 junio aprox.), predominó la fase convergente en parte de Sudamérica y Perú (90°W - 60°W) lo que favoreció estabilidad atmosférica, subsidencia y limitó la ocurrencia de Iluvias, principalmente en la sierra sur, central y parte de la sierra y selva norte. Estas condiciones propiciaron un descenso de temperaturas respecto al mes anterior, sin embargo las anomalías ligeramente cálidas en la sierra sur persistieron (ver Figura 11, 16b y 17b). Posteriormente, a partir del 9 de junio se tuvo una ventana de fase divergente, la cual contribuyó a exacerbar la inestabilidad atmosférica y convección, lo cual propició superávits de lluvias a lo largo de la región andina (principalmente la sierra central) y parte de la selva norte, reportando anomalías inclusive mayores de +800%, por lo que nuevamente predominó una mayor nubosidad y condiciones más cálidas de lo normal a lo largo de la región andina, a excepción de parte de la sierra sur occidental, (ver Figuras 11, 16c y 17c). Cabe mencionar que las anomalías de lluvias de hasta +800% se dan en el contexto de un período de estiaje en donde los acumulados son significativamente menores en comparación con los meses de verano. Desde la línea de pronóstico (21 de junio 2025), se prevé una breve propagación de la fase divergente desde el Pacífico central hacia el Pacífico oriental. Esta configuración podría propiciar la convección y el desarrollo vertical de nubes, lo que podría contribuir a generar precipitaciones localizadas e incidir sobre el rango diurno de temperaturas en la región (ver Figura 11).

En niveles bajos (850hPa) y dentro de la franja ecuatorial (5°S-5°N), en el mes de mayo se observó una predominancia de anomalías de vientos del este, principalmente en el Pacífico Occidental y Central (120°E - 120°W), lo que favoreció anomalías de TSM negativas en la región Niño 3.4, pero dentro de la categoría neutral (ver **Figuras 3 y 12**). Posteriormente, en lo que va de junio, persistieron las anomalías de vientos del este entre los 120°E - 120°W, con una menor magnitud respecto a mayo, y con un breve episodio de anomalías de vientos del oeste a inicios de mes, lo que favoreció un ligero incremento de anomalías de TSM en la región Niño 3.4, sin embargo, estas



permanecieron negativas y dentro de la categoría neutra (ver **Figuras 3 y 12**). Desde la línea de pronóstico, se prevé un cambio de patrón a anomalías de vientos del oeste en el Pacífico occidental y central, con ciertos episodios de anomalías de vientos del este (120°E – 120°W), por lo que se esperaría un ligero incremento de las anomalías de TSM en la región Niño 3.4 (ver **Figuras 3 y 12**).

En niveles altos de la tropósfera (200 hPa), durante mayo, en los 5°N – 5°S - 90°W – 60°W, asociado a la región norte del Perú se tuvo episodios de anomalías de vientos del este y arribo de ondas Kelvin atmosféricas (ver Figura 13), lo que favoreció la mayor advección de humedad, inestabilidad atmosférica y superávits de lluvias en la selva norte y parte de la sierra norte (ver Figura 13 y 16a). Del 1 al 9 de junio se dio un cambio de patrón hacia anomalías de vientos del oeste, lo que condicionó una menor advección de humedad y predominancia de déficits de precipitación en la mayor parte de estaciones de la sierra norte (ver Figura 13 y 16b). Posteriormente se desarrollaron anomalías de vientos del este, lo que propició nuevamente que se tenga advección de humedad y lluvias por encima de lo normal, principalmente en la sierra norte y selva norte, con anomalías mayores a +800% (ver Figura 13 y 16c). Desde la línea de pronóstico (23 junio), hasta fines de julio 2025 (21 julio) se espera que persistan las anomalías de vientos del este, lo que podría favorecer la advección de humedad desde la Amazonía, y propiciar una mayor convección y nubosidad, generando lluvias localizadas, dentro del contexto del período de estiaje y reduciendo el rango diurno de temperaturas (ver Figura 13).



**Figura 11.** Anomalía de la velocidad potencial en 200 hPa entre los 5°N - 5°S (a) y los 5°S – 15°S (b) a lo largo de la línea ecuatorial. Análisis: 31 marzo del 2025 al 22 junio del 2025. Pronóstico: 23 de junio 2025 al 21 de julio 2025. Anomalías positivas (marrón), anomalías negativas (verdes).



Resolución espacial 1° (110Km). La línea negra indica la fecha en que inicia el pronóstico de acuerdo al modelo CFS (Fuente: NCICS-NOAA).

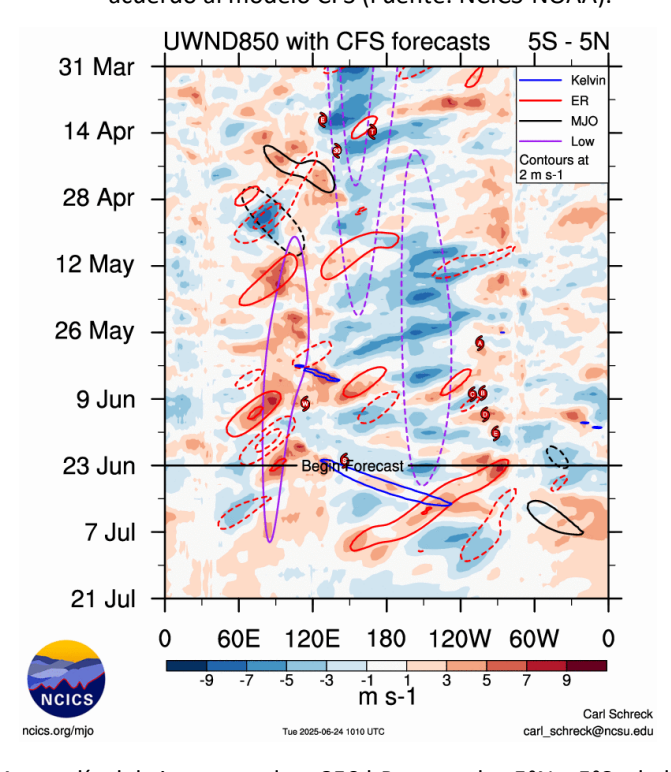


Figura 12. Anomalía del viento zonal en 850 hPa entre los 5°N y 5°S a lo largo de la línea ecuatorial. Análisis: 31 marzo al 22 junio del 2025. Pronóstico: 23 de junio al 21 de julio 2025. Anomalías positivas (rojo), anomalías negativas (azul). Resolución espacial 1° (110Km). La línea negra indica la fecha en que inicia el pronóstico de acuerdo al modelo CFS (Procesamiento: NCICS-NOAA).

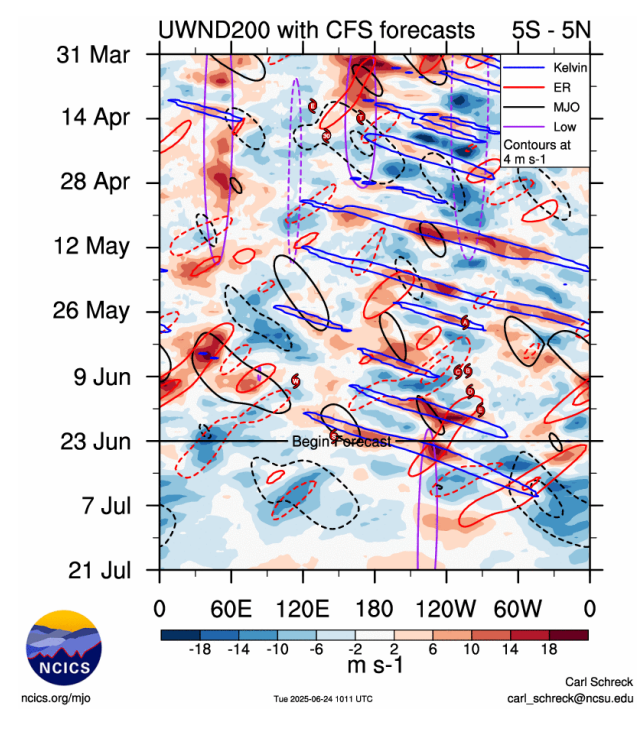


Figura 13. Anomalía del viento zonal en 200 hPa entre los 5°N y 5°S a lo largo de la línea



ecuatorial. Análisis: 31 marzo al 22 junio del 2025. Pronóstico: 23 de junio al 21 de julio 2025. Anomalías positivas (rojo), anomalías negativas (azul). Resolución espacial 1° (110Km). La línea negra indica la fecha en que inicia el pronóstico de acuerdo al modelo CFS (Procesamiento: NCICS-NOAA).

### 6. CONDICIONES ATMOSFÉRICAS REGIONALES

Respecto al agua precipitable, en el mes de mayo 2025, a nivel nacional, se tuvieron valores de agua precipitable por encima de su climatología, con anomalías de hasta +10 a +15 mm, lo que favoreció superávits de lluvias a nivel nacional (a excepción de parte de la costa y parte de la sierra norte, ver Figura 14 y 16a). Posteriormente a inicios de junio persistieron las anomalías de agua precipitable positivas hacia la vertiente occidental de la costa y sierra norte – central (30 mayo al 8 de junio 2025, ver Figura 14). En este período han predominado los déficits de lluvias, principalmente en la vertiente oriental, en donde se han tenido valores de agua precipitable cercanos a su climatología (ver Figura 14 y 16b). Del 9 al 18 de junio, se incrementaron los valores de agua precipitable en la vertiente oriental, con anomalías de hasta +15 mm, lo que propició superávits de lluvias a lo largo de la región andina y la selva norte (ver Figura 14 y 16c). Desde el pronóstico (hasta inicios de julio), se espera una persistencia en los valores positivos de anomalías de agua precipitable, principalmente en la vertiente oriental del Perú, con valores por encima de su climatología (+5 hasta +15 mm aproximadamente), lo que podría favorecer nubosidad, precipitaciones principalmente en la selva, y un menor rango diurno de temperaturas (ver Figura 14).

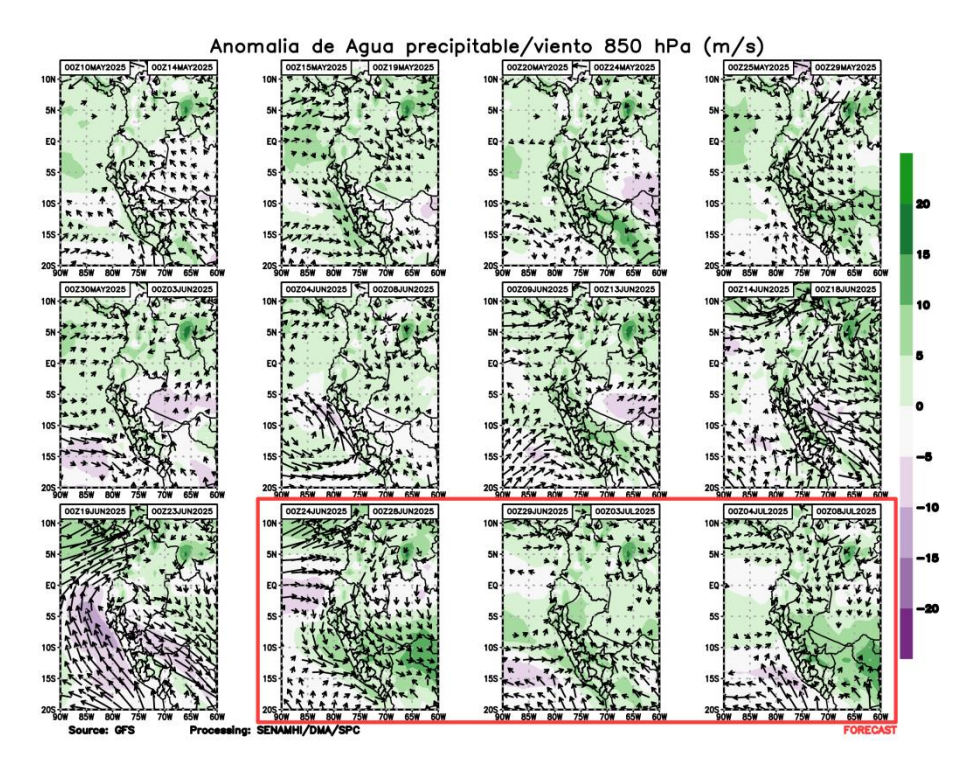


Figura 14. Anomalía del agua precipitable (Kg\*m2) (sombreado) para Perú. Análisis del 10 de mayo al 23 de junio 2025. Pronóstico del 24 de junio 2025 al 08 de julio 2025. La línea roja indica el inicio del pronóstico. Fuente: GFS. Procesamiento: SPC-SENAMHI.



### 7. MONITOREO TERMOPLUVIOMÉTRICO

Durante el mes de mayo de 2025, se tuvieron anomalías positivas y negativas tanto en las temperaturas máximas como las mínimas, influenciados posiblemente por condiciones locales de nubosidad, TSM y vientos alisios. En las temperaturas mínimas se reportaron anomalías positivas de hasta +2°C en las estaciones Jayanca y La Yarada, mientras que la anomalía más baja se dio en la estación Fonagro. En las temperaturas máximas se tuvo un rango de anomalías de entre +1°C (La Cruz) y -1.5°C (Chusis, Fonagro y Cañete), cercanos a sus valores climáticos. Posteriormente, en lo que va de junio se ha presentado un calentamiento intensificado, principalmente en las temperaturas mínimas debido a un incremento de las anomalías de TSM (ver Figuras 2 y 15), con valores de hasta +4.5°C aproximadamente (Talla y Huarmey). EN las temperaturas máximas, la estación Huarmey también reporta la máxima anomalía con +4.5°C (ver Figura 15).

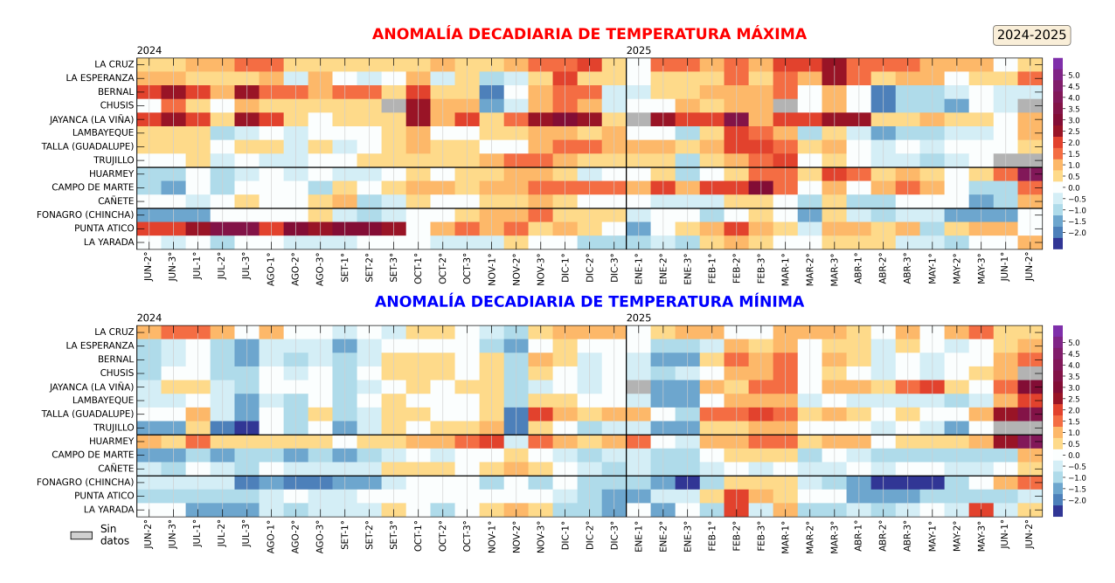
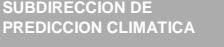


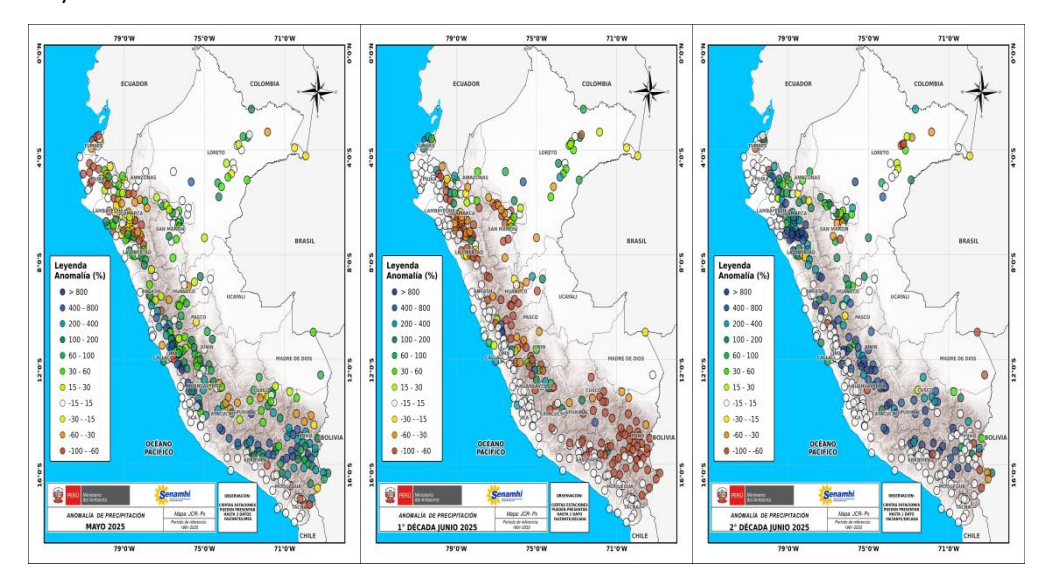
Figura 15. Anomalía de las temperaturas del aire máxima (a) y mínima (b) en las estaciones costeras del SENAMHI de la 2da década de junio 2024 a la 2da década de junio 2025. Fuente y procesamiento: SENAMHI.

En mayo de 2025, se registraron superávits de lluvias en gran parte del territorio peruano. Los mayores superávits de lluvias se dieron principalmente en la sierra sur, sierra central, selva norte, selva central, selva sur y parte de la sierra norte del Perú con valores de +15% hasta +800%. Por el contrario, en parte de la costa norte y sierra sur predominaron condiciones deficitarias de hasta -60% a -100% (ver Figura 16a.). En la 1ra década de junio se presentó una predominancia de condiciones deficitarias, principalmente en la sierra sur, sierra central, parte de la sierra norte y selva norte alta, favorecidos por una fase convergente en altura y anomalías de vientos del oeste (ver Figura 11, 13 y 16b). Finalmente en la 2da década de junio, predominaron los superávits





a nivel nacional, a excepción de la costa y parte de la sierra sur y central occidental que presentaron condiciones normales. Estos superávits fueron condicionados por el arribo de una fase divergente y anomalías de vientos del este en altura (ver **Figura 11, 13 y 16b**).



**Figura 16.** Anomalía de precipitación (%) en mayo 2025 (a), del 1 al 10 de junio 2025 (b) y del 11 al 20 de junio 2025 (c). Climatología 1991-2020. Fuente y Procesamiento: SENAMHI.

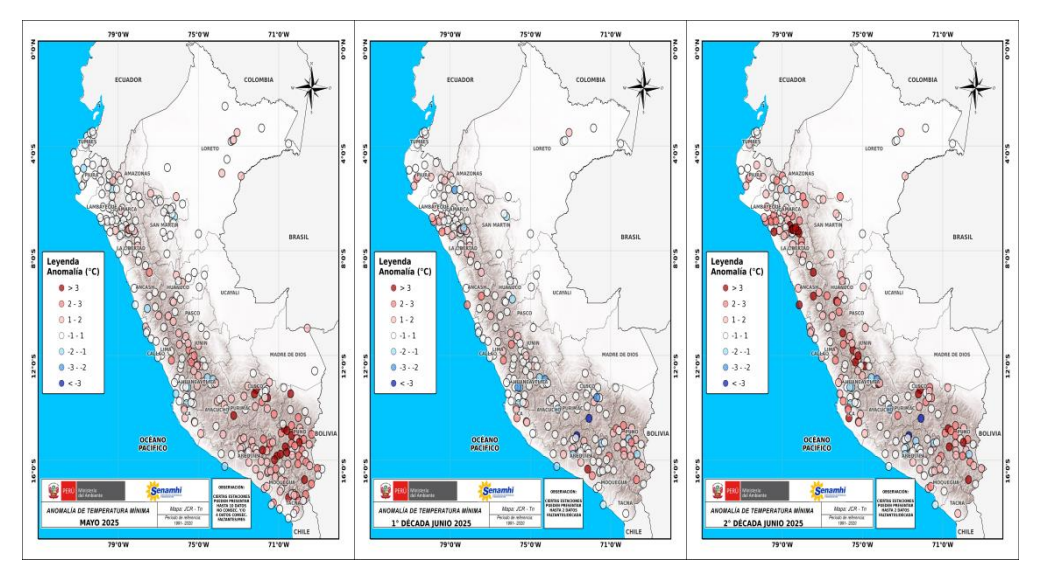


Figura 17. Anomalía de temperatura mínima (°C) en mayo 2025 (a), del 1 al 10 de junio 2025 (b) y del 11 al 20 de junio 2025 (c). Climatología 1991-2020. Fuente y Procesamiento: SENAMHI.

# Análisis y redacción:

Javier Chiong, Grinia Ávalos, Dora Marín, Félix Cubas, Nelson Quispe.

Próxima actualización: 21 de julio de 2025



Se invita a acceder a los siguientes sitios del portal institucional:

# **Avisos Meteorológicos**

https://www.senamhi.gob.pe/?p=aviso-meteorologico

Pronósticos climáticos de lluvias, temperaturas máximas y mínima del aire

https://www.senamhi.gob.pe/?p=pronostico-climatico

Comunicados ENFEN sobre las condiciones EL NIÑO/LA ÑIÑA

https://www.senamhi.gob.pe/?p=fenomeno%2Del%2Dnino

**Boletines informativos** 

https://www.senamhi.gob.pe/?&p=boletines

Boletines de sequías

https://www.senamhi.gob.pe/?&p=sequias

© 2024 SENAMHI-PERÚ Jr. Cahuide 758 Jesús María – Lima; Teléfono: 6-141414 clima@senamhi.gob.pe,

pronosticador@senamhi.gob.pe www.senamhi.gob.pe

Pronóstico del Tiempo: 51 1 - 6141407 anexo 447 Predicción Climática: 51 1 - 6141414 anexo 475 Lima – Perú